

# 基于 HMGB1/TLR4 信号通路评价五味子乙素对 2 型糖尿病肾病大鼠肾脏功能的保护作用

熊 刚 邹 华 胡承莲 吴 丹 邓贵柳

**摘要 目的** 研究五味子乙素(SchB)对2型糖尿病肾病(DN)大鼠肾脏功能的保护作用及其对HMGB1/TLR4炎性通路的影响。**方法** 40只SD大鼠随机分为正常对照组、DN组、DN低剂量SchB组及DN高剂量SchB组,采用尾静脉注射链脲佐菌素构建DN模型,并同时给予药物治疗。治疗4周后处死大鼠取材,检测谷丙转氨酶(ALT)、尿肌酐(Ucr)、血肌酐(Scr)、血胱抑素C(Cys-c)及内生肌酐清除率(Ccr);HE染色观察大鼠肾脏组织结构变化;Western blot法分析肾脏组织HMGB1、TLR4、IL-1 $\beta$ 、IL-6及TNF- $\alpha$ 蛋白表达量。**结果** 与正常对照组比较,DN组大鼠Scr、Cys-c及ALT水平显著升高,Ucr、Ccr水平则显著降低( $P < 0.05$ ),肾脏组织形态明显异常,并且HMGB1、TLR4、IL-1 $\beta$ 、IL-6及TNF- $\alpha$ 蛋白表达量均显著升高( $P < 0.05$ );与DN组大鼠比较,经低、高剂量SchB治疗后大鼠Scr、Cys-c及ALT水平明显降低,Ucr、Ccr水平则显著升高( $P < 0.05$ ),并且HMGB1、TLR4、IL-1 $\beta$ 、IL-6及TNF- $\alpha$ 蛋白表达量均显著降低( $P < 0.05$ )。**结论** SchB可改善DN大鼠肾脏功能,其机制可能与降低HMGB1/TLR4信号蛋白表达、发挥抗炎作用有关。

**关键词** 五味子乙素 糖尿病肾病 HMGB1/TLR4 信号通路 炎症

**中图分类号** R587.2      **文献标识码** A      **DOI** 10.11969/j.issn.1673-548X.2019.03.032

## Evaluation of Renal Function Protection of Schisandrin B in Rates with Type 2 Diabetic Nephropathy Based on HMGB1/TLR4 pathway.

Xiong Gang, Zou Hua, Hu Chenglian, et al. Department of Emergency, Central Hospital of Enshi Autonomous Prefecture, Hubei 445000, China

**Abstract Objective** To study the protective effects of Schisandrin B (SchB) on renal function in rates with type 2 diabetic nephropathy, and investigate the influence of Schisandrin B on HMGB1/TLR4 inflammatory pathway. **Methods** 40 SD rats were randomly divided into normal control group, diabetic nephropathy (DN) group, DN low - dose of SchB group and DN high - dose of SchB group. The DN model was constructed through the tail vein injection of streptozotocin. The rats in each group were sacrificed after treatment for 4 weeks. The levels of alanine transaminase (ALT), urinary creatinine (Ucr), serum creatinine (Scr), blood cystatin C (Cys-C), and creatinine clearance rate (Ccr) were determined. HE staining was used to observe the histological changes of renal tissues. Western blot were used to detect the expressions of HMGB1, TLR4, IL-1 $\beta$ , IL-6 and TNF- $\alpha$ . **Results** Compared with control group, the levels of Scr, Cys-c and ALT were gratly increased, while the levels of Ucr and Ccr significantly decreased in DN group ( $P < 0.05$ ). The kidney tissue morphology in DN rats was abnormal. The expression levels of HMGB1, TLR4, IL-1 $\beta$ , IL-6 and TNF- $\alpha$  in DN group were significantly increased compared with control group ( $P < 0.05$ ). However, after treatment with low - and high - dose SchB, the levels of Scr, Cys-c and ALT were gratly decreased, while the levels of Ucr and Ccr significantly increased in SchB groups ( $P < 0.05$ ). The expression levels of HMGB1, TLR4, IL-1 $\beta$ , IL-6 and TNF- $\alpha$  in SchB groups were significantly decreased compared with DN group ( $P < 0.05$ ). **Conclusion** SchB can improve the kidney function of diabetic rats, and its mechanism may be related to the down - regulation of HMGB1/TLR4 signaling protein expressions, which plays the anti - inflammatory effects.

**Key words** Schisandrin B; Diabetic nephropathy; HMGB1/TLR4 signaling pathway; Inflammation

糖尿病肾病(diabetic nephropathy, DN)为糖尿病中最常见的并发症之一,也是引起终末期肾病最主要的诱导因素,调查发现约30%患者进一步会恶化为糖尿病肾病阶段<sup>[1]</sup>。DN发病早期主要表现为肾小

球滤过能力增高及尿中出现微量白蛋白,如果未能得到及时治疗会出现肾小球萎缩、基膜增厚及细胞外基质堆积,进一步引发慢性肾功能不全,直接影响患者的生存质量<sup>[2]</sup>。倘若对DN疾病发展早期进行及时干预,会改善尿中微量蛋白流出,防止患者进入临床蛋白尿期。一旦患者疾病恶化为临床蛋白尿期,患者的肾脏功能将会受到急剧损伤,所以研究DN早期治

疗的方法具有重大临床意义<sup>[3]</sup>。高迁移率族蛋白1(HMGB1)属于一种核内非组蛋白染色体结合蛋白,可通过与胞膜上Toll样受体4(TLR4)结合从而激活核转录因子-κB(NF-κB),进一步诱导炎性信号的活化,导致细胞出现炎性反应<sup>[4,5]</sup>。

五味子乙素(schisandrin B, SchB)是从五味子中提取分离得到的木质素类天然活性化合物,表现出显著的抗氧化、抗炎症及抗细胞凋亡的作用,它可以通过抑制细胞内炎性通路活化达到对心脏、大脑、肝脏及肾脏等组织的保护作用<sup>[6~8]</sup>。目前,SchB对DN大鼠的保护作用及其对HMGB1/TLR4信号通路的相关作用不明确,本研究探讨了SchB对DN大鼠肾脏功能及HMGB1/TLR4炎性通路活化的影响,以期为DN早期治疗提供新的研究思路。

### 材料与方法

1. 动物及试剂:200~250g雄性SD大鼠40只(辽宁长生生物技术有限公司,实验动物合格证SCXK2010-0005),分笼饲养于屏障环境中。五味子乙素(山东绿叶制药,批号H2011051108,纯度≥98%),链脲佐菌素(美国Sigma公司);HE染色试剂盒(武汉博士德生物技术有限公司);HMGB1(货号CZ-20170614)、TLR4(货号ab0252411)、IL-1β(货号ab1025855)、IL-6(货号ab1102239)、TNF-α(货号ab2252172)及β-actin(货号ab2255027)单克隆抗体购自英国Abcam公司。

2. DN模型构建及药物治疗:采用尾静脉注射链脲佐菌素构建DN模型,3天后检测大鼠血糖浓度,其中血糖浓度≥16.65mmol/L的大鼠作为实验组。实验组动物给予低(15mg/kg)、高(30mg/kg)剂量SchB灌胃,1次/1天,连续4周。正常对照组及DN组大鼠给予同体积生理盐水灌胃。

3. 生化指标检测:大鼠灌胃4周后,收集各组大鼠24h尿液。采用适量的10%水合氯醛麻醉大鼠

后,每只采取3ml,静置于冰上2h后3000×g离心5min,吸去血清转移至无菌Ep管内。采用全自动生化分析仪(西门子)测定各组大鼠ALT、Ucr、Scr、Cys-c及Ccr值。

4. HE染色实验:采血结束后开腹收集大鼠肾脏组织,用生理盐水反复冲洗至颜色变白,将左侧肾脏组织修饰为5mm×5mm×5mm的组织块,放入4%甲醛中固定,用于HE染色。右侧肾脏组织立即放入-80℃冰箱用于Western blot法实验。

5. Western blot法检测:称取肾脏组织10mg,在冰上用研磨器搅碎后4℃、13000×g离心15min,吸取蛋白上清至新Ep管中,采用BCA试剂盒进行蛋白浓度测定,加入适量上样缓冲液混匀,100℃煮沸7min。用12%的SDS-PAGE凝胶块电泳分离蛋白,完成后转膜。切割不同分子量目的蛋白至对应一抗溶液中(稀释比均为1:3000),4℃震荡过夜,采用HRP标记的二抗(稀释比1:1000)37℃孵育1h,TBST洗膜3次后加入ECL显影液,采用X光胶片曝光。

6. 统计学方法:采用SPSS 20.0统计学软件对数据进行统计分析,数据如服从正态分布采用以均数±标准差( $\bar{x} \pm s$ )表示,多组间比较采用单因素方差分析,两组间比较采用t检验,以 $P < 0.05$ 为差异有统计学意义。

### 结 果

1. 五味子乙素对DN大鼠肾脏功能指标的影响:五味子乙素治疗对DN大鼠肾功能指标影响结果如表1所示,提示DN组Scr、Cys-c及ALT水平相对于正常对照组显著升高( $P < 0.05$ ),而Ucr、Ccr水平则显著降低( $P < 0.05$ ),实验大鼠DN模型构建成功。但是经过低、高剂量五味子乙素治疗后,大鼠Scr、Cys-c及ALT水平相对于DN组显著降低( $P < 0.05$ ),而Ucr、Ccr水平明显升高( $P < 0.05$ )。

表1 各组大鼠Scr、Ucr、Ccr及Cys-c比较

组别	Scr(μmol/L)	Ucr(mmol/L)	Ccr(ml/min)	Cys-c(mg/L)	ALT(U/L)
正常对照组	33.25±1.62	9.62±1.05	4.15±0.68	0.25±0.04	36.14±8.29
DN组	74.28±5.43*	5.21±0.68*	2.04±0.31*	0.81±0.06*	132.54±25.13*
DN低剂量SchB组	58.28±3.24#	7.05±0.97#	3.01±0.42#	0.57±0.05#	96.34±15.20#
DN高剂量SchB组	44.37±2.68#	8.97±1.17#	3.97±0.56#	0.34±0.04#	51.26±9.81#
F	152.84	36.59	115.07	69.34	125.06
P	0.000	0.000	0.000	0.000	0.000

与正常对照组比较,\* $P < 0.05$ ;与DN组比较,# $P < 0.05$

2. 五味子乙素对 DN 大鼠肾脏组织形态的影响: 大鼠肾脏组织形态观察发现正常对照组肾脏组织结构正常, DN 组肾小球有一定程度萎缩, 组织结构排列

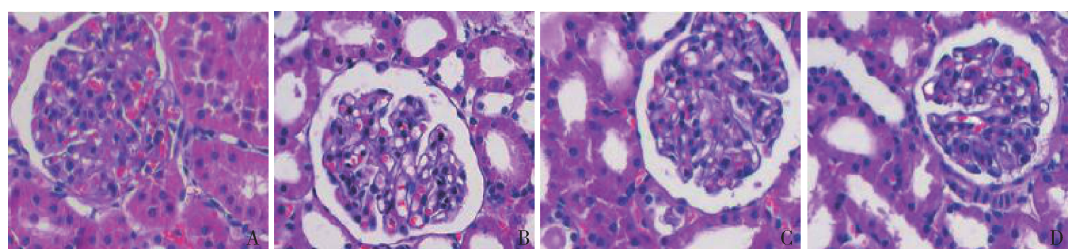


图 1 各组间大鼠肾脏组织形态比较(HE 染色,  $\times 200$ )

A. 正常对照组; B. DN 组; C. DN 低剂量 SchB 组; D. DN 高剂量 SchB 组

3. 五味子乙素对 DN 大鼠肾脏组织 HMGB1/TLR4 通路的影响: 五味子乙素治疗对 DN 大鼠肾脏组织 HMGB1/TLR4 通路影响结果如图 2、表 2 所示, 提示 DN 组 HMGB1、TLR4 蛋白表达水平相对于正常对照组显著升高 ( $P < 0.05$ ), 而经过低、高剂量五味子乙素治疗后, 大鼠肾脏组织 HMGB1、TLR4 蛋白表达水平相对于 DN 组显著降低 ( $P < 0.05$ )。

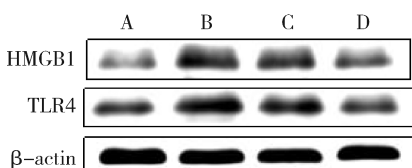


图 2 各组间大鼠肾脏组织 HMGB1、TLR4 蛋白表达比较

A. 正常对照组; B. DN 组; C. DN 低剂量 SchB 组;  
D. DN 高剂量 SchB 组

表 2 HMGB1、TLR4 蛋白表达水平

组别	HMGB1/β - actin	TLR4/β - actin
正常对照组	0.09 ± 0.02	0.14 ± 0.03
DN 组	0.46 ± 0.08 *	0.54 ± 0.09 *
DN 低剂量 SchB 组	0.29 ± 0.04 #	0.33 ± 0.05 #
DN 高剂量 SchB 组	0.15 ± 0.03 #	0.17 ± 0.04 #
F	26.37	58.19
P	0.000	0.000

与正常对照组比较, \*  $P < 0.05$ ; 与 DN 组比较, #  $P < 0.05$

4. 五味子乙素对 DN 大鼠肾脏组织炎性因子的影响: 如图 3、表 3 所示, DN 组 IL-1β、IL-6 及 TNF-α 蛋白表达水平相对于正常对照组显著升高 ( $P < 0.05$ ), 而经过低、高剂量五味子乙素治疗后, 大鼠肾脏组织 IL-1β、IL-6 及 TNF-α 蛋白表达水平相对于 DN 组显著降低 ( $P < 0.05$ )。

列不均匀, 并且有肿胀, 脱落现象, 还存在空泡样变性, 鲍曼囊腔扩; 而经过高剂量五味子乙素治疗后, 可改善上述不良形态, 详见图 1。

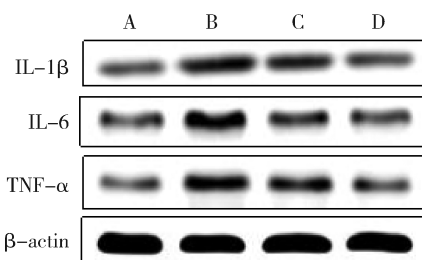


图 3 各组间大鼠肾脏组织炎性蛋白表达比较

A. 正常对照组; B. DN 组; C. DN 低剂量 SchB 组;  
D. DN 高剂量 SchB 组

表 3 IL-1β、IL-6 及 TNF-α 蛋白表达水平

组别	IL-1β/β - actin	IL-6/β - actin	TNF-α/β - actin
	β - actin	β - actin	β - actin
正常对照组	0.14 ± 0.03	0.17 ± 0.04	0.11 ± 0.02
DN 组	0.51 ± 0.09 *	0.49 ± 0.08 *	0.41 ± 0.07 *
DN 低剂量 SchB 组	0.27 ± 0.05 #	0.23 ± 0.04 #	0.26 ± 0.04 #
DN 高剂量 SchB 组	0.17 ± 0.03 #	0.15 ± 0.02 #	0.13 ± 0.02 #
F	54.07	16.39	28.06
P	0.000	0.000	0.000

与正常对照组比较, \*  $P < 0.05$ ; 与 DN 组比较, #  $P < 0.05$

## 讨 论

糖尿病属于一种常见的内分泌代谢紊乱性疾病, 然而 DN 为糖尿病较为常见的并发症之一, 最后也许恶化为慢性肾功能不全及终末期肾衰竭, 会给患者及家庭带来极大的影响<sup>[9]</sup>。DN 主要为血糖急剧升高外, 还常伴随着蛋白质及脂肪等代谢异常及肾脏组织病变<sup>[10]</sup>。五味子常用于滋补的中药, 性味温和, 对人体心脏、肝脏、脾脏、肺及肾脏起着平衡作用, 还属于补益类及镇静类中药, 然而对其成分提取发现木质素的药理活性最强, 其中 SchB 是最主要的活性化合物之一。已有研究发现 SchB 能通过抑制 TGF-β/

Smad信号转导起到抗肾纤维化的作用<sup>[11]</sup>。原丽欣<sup>[12]</sup>研究发现SchB可通过增强SOD及GSH-Px等抗氧化酶活性,改善活性氧(ROS)所致肾组织的氧化损伤。但是SchB对糖尿病所致肾病的保护作用尚未见相关研究。本研究采用尾静脉注射链脲佐菌素构建DN模型,发现大鼠Scr、Cys-c及ALT水平显著升高,而Ucr、Ccr水平显著降低,说明DN组大鼠肾脏功能受到严重损伤。通过给予低、高剂量SchB治疗4周后,上述生物学指标均得到明显改善,并且肾脏组织形态也得到部分改善,由此提示SchB对糖尿病所致肾病大鼠的肾脏功能具有改善作用。

在DN发病过程中,疾病早期肾小球及间质会出现巨噬细胞及T细胞浸润,白细胞产生IL-1β、IL-6及TNF-α等促炎性因子,后者进一步诱发肾脏细胞产生多种趋化因子,引发新一轮的炎性反应<sup>[13]</sup>。HMGB1能与细胞膜上TLR2及TLR4受体相互作用,活化细胞内炎性通路,诱发炎性因子的大量产生。早期发现糖尿病患者TLR4表达量显著增高,能诱导下游分子NF-κB转入细胞核内,促使炎性基因的转录,进一步导致肾脏受损<sup>[14]</sup>。糖尿病患者常出现肥胖、胰岛素抵抗及氧化应激增强等病症,还发现存在热休克蛋白60及游离脂肪酸的含量升高,从而活化TLR4/NF-κB炎性转导信号,诱导大量细胞因子及炎性介质的产生,导致炎性损伤<sup>[15-17]</sup>。由于TLR4介导下胞内各信号转导相互作用,共同加剧ND疾病的发生、发展。

本研究中低、高剂量SchB组与DN组大鼠比较, HMGB1及TLR4蛋白表达量显著降低。前期研究发现,SchB可通过抑制TLR4/NF-κB/MyD88信号通路活化进而降低神经炎性反应及改善脓毒症,说明SchB可以下调TLR4蛋白表达<sup>[18]</sup>。然而SchB对HMGB1蛋白表达的报道较少,本文结果提示SchB同样可以降低HMGB1蛋白表达,进一步抑制其下游基因TLR4的活化,但是SchB是否可以直接作用于HMGB1蛋白尚需进一步研究。研究还发现SchB可诱导炎性因子IL-1β、IL-6及TNF-α的表达量的降低,HE染色发现SchB对肾脏组织具有保护作用,提示SchB可能通过抑制肾脏HMGB1及TLR4的表达进而抑制炎性通路的活化,降低细胞因子和炎性介质的产生,发挥对DN大鼠肾脏的治疗作用,然而SchB对炎性转导信号通路的影响机制还有待于深入探讨。

#### 参考文献

1 Sidaway P. Diabetic nephropathy: Heparanase mediates renal injury

- [J]. Nat Rev Nephrol, 2014, 10(9): 483-489
- 2 Ni WJ, Tang LQ, Wei W. Research progress in signalling pathway in diabetic nephropathy [J]. Diabetes Metab Res Rev, 2018, 31(3): 221-233
- 3 汪建云,王栋栋,陆昭磊,等.四氢生物蝶呤在2型糖尿病肾病小鼠肾脏NO生成中的作用[J].中国药理学通报,2014,30(4):514-519
- 4 Chi W, Chen H, Li F, et al. HMGB1 promotes the activation of NL-RP3 and caspase-8 inflammasomes via NF-κB pathway in acute glaucoma [J]. J Neuroinflammation, 2015, 12(5):137-145
- 5 Yang H, Wang H, Ju Z, et al. MD-2 is required for disulfide HMGB1-dependent TLR4 signaling [J]. J Exp Med, 2015, 212(1):5-14
- 6 Lee TH, Jung CH, Lee DH. Neuroprotective effects of Schisandrin B against transient focal cerebral ischemia in Sprague-Dawley rats [J]. Food Chem Toxicol, 2017, 50(12):4239-4245
- 7 Leong PK, Ko KM. Schisandrin B induces an Nrf2-mediated thioredoxin expression and suppresses the activation of inflammasome in vitro and in vivo [J]. Biofactors, 2015, 41(5):314-323
- 8 Thandavarayan RA, Giridharan VV, Arumugam S, et al. Schisandrin B prevents doxorubicin induced cardiac dysfunction by modulation of DNA damage, oxidative stress and inflammation through inhibition of MAPK/p53 signaling [J]. PLoS One, 2015, 10(3):e0119214
- 9 Cao YP, Liu QJ, Ren YZ, et al. Losartan provides protection on the kidney of diabetic rats by inhibiting the expression of GADD153/CHOP [J]. Chin Pharmacol Bull, 2011, 27(5):617-622
- 10 Tang LQ, Liu S, Zhang ST, et al. Berberine regulates the expression of E-prostanoid receptors in diabetic rats with nephropathy [J]. Mol Biol Rep, 2016, 41(5):3339-3347
- 11 郑海洲,张杰,肖程程,等.五味子乙素抗肾纤维化作用及机制研究[J].中国现代医学杂志,2017,27(27):1-6
- 12 原丽欣.五味子乙素对顺铂所致大鼠肾氧化损伤的保护作用[J].中国医院药学杂志,2014,31(10):825-828
- 13 张巍,于为民,任小军.糖尿病肾病的炎症反应[J].中国现代医生,2014,52(9):157-160
- 14 Börgeson E, Johnson AM, Lee YS, et al. Lipoxin A4 attenuates obesity-induced adipose inflammation and associated liver and kidney disease [J]. Cell Metab, 2015, 22(1):125-137
- 15 Dasu MR, Jialal I. Free fatty acids in the presence of high glucose amplify monocyte inflammation via Toll-like receptors [J]. Am J Physiol Endocrinol Metab, 2017, 14(3):e145-e154
- 16 Liu W, Wu YH, Zhang L, et al. MicroRNA-146a suppresses rheumatoid arthritis fibroblast-like synoviocytes proliferation and inflammatory responses by inhibiting the TLR4/NF-κB signaling [J]. Oncotarget, 2018, 9(35):23944-23959
- 17 Antón M, Alén F, Gómez de Heras R, Serrano A, et al. Oleoylethanolamide prevents neuroimmune HMGB1/TLR4/NF-κB danger signaling in rat frontal cortex and depressive-like behavior induced by ethanol binge administration [J]. Addict Biol, 2017, 22(3):724-741
- 18 Xu J, Lu C, Liu Z, et al. Schizandrin B protects LPS-induced sepsis via TLR4/NF-κB/MyD88 signaling pathway [J]. Am J Transl Res, 2018, 10(4):1155-1163

(收稿日期:2018-06-14)

(修回日期:2018-06-21)